

**PENGARUH PENAMBAHAN LEMPUNG DENGAN JENIS BERBEDA  
PADA SINTESIS KOMPOSIT Fe<sub>3</sub>O<sub>4</sub>-LEMPUNG**

**SKRIPSI**

**Untuk memenuhi sebagian persyaratan  
Mencapat derajat Sarjana S-1**

**Program Studi Kimia**



**Oleh:**

**ZAUD ALZAKY  
09630004**

**PROGRAM STUDI KIMIA  
FAKULTAS SAINS DAN TEKNOLOGI  
UNIVERSITAS ISLAM NEGERI SUNAN KALJAGA YOGYAKARTA  
2014**

**SURAT PERSETUJUAN SKRIPSI/TUGAS AKHIR**

Hal : Nota Dinas Konsultan Skripsi

Lamp :-

Kepada  
Yth. Dekan Fakultas Sains dan Teknologi  
UIN Sunan Kalijaga Yogyakarta  
di Yogyakarta

*Assalamu'alaikum wr. wb.*

Setelah membaca, meneliti, memberikan petunjuk dan mengoreksi serta mengadakan perbaikan seperlunya, maka kami selaku konsultan berpendapat bahwa skripsi Saudara:

Nama : Zaud Alzaky

NIM : 09630004

Judul Skripsi : Pengaruh Penambahan Lempung Dengan Jenis Berbeda Pada  
Sintesis Komposisi Magnetit-Lempung

sudah dapat diajukan kembali kepada Program Studi Kimia Fakultas Sains dan Teknologi UIN Sunan Kalijaga Yogyakarta sebagai salah satu syarat untuk memperoleh gelar Sarjana Strata Satu dalam bidang kimia.

*Wassalamu'alaikum wr. wb.*

Yogyakarta, 12 Februari 2014

Pembimbing

Irwan Nugraha, S.Si., M.Sc  
NIP. 19820329 201101 1 005

**SURAT PERSETUJUAN SKRIPSI/TUGAS AKHIR**

Hal : Nota Dinas Konsultan Skripsi

Lamp :-

Kepada  
Yth. Dekan Fakultas Sains dan Teknologi  
UIN Sunan Kalijaga Yogyakarta  
di Yogyakarta

*Assalamu'alaikum wr. wb.*

Setelah membaca, meneliti, memberikan petunjuk dan mengoreksi serta mengadakan perbaikan seperlunya, maka kami selaku konsultan berpendapat bahwa skripsi Saudara:

Nama : Zaud Alzaky

NIM : 09630004

Judul Skripsi : Pengaruh Penambahan Lempung Dengan Jenis Berbeda Pada  
Sintesis Komposisi Magnetit-Lempung

sudah dapat diajukan kembali kepada Program Studi Kimia Fakultas Sains dan Teknologi UIN Sunan Kalijaga Yogyakarta sebagai salah satu syarat untuk memperoleh gelar Sarjana Strata Satu dalam bidang kimia.

*Wassalamu'alaikum wr. wb.*

Yogyakarta, 12 Februari 2014  
Pembimbing

Pedy Artsanti, M.Sc

**SURAT PERSETUJUAN SKRIPSI/TUGAS AKHIR**

Hal : Persetujuan Skripsi/Tugas Akhir

Lamp :-

Kepada

Yth. Dekan Fakultas Sains dan Teknologi  
UIN Sunan Kalijaga Yogyakarta  
di Yogyakarta

*Assalamu'alaikum wr. wb.*

Setelah membaca, meneliti, memberikan petunjuk, dan mengoreksi serta mengadakan perbaikan seperlunya, maka kami selaku pembimbing berpendapat bahwa skripsi Saudara:

Nama : Zaud Alzaky

NIM : 09630004

Judul skripsi : Pengaruh Penambahan Lempung Dengan Jenis Berbeda Pada Sintesis Komposit Magnetit-Lempung

sudah dapat diajukan kembali kepada Fakultas Sains dan Teknologi Program Studi Kimia UIN Sunan Kalijaga Yogyakarta sebagai salah satu syarat untuk memperoleh gelar Sarjana Strata Satu dalam Program Studi Kimia.

Dengan ini kami mengharap agar skripsi/tugas akhir Saudara tersebut di atas dapat segera dimunaqasyahkan. Atas perhatiannya kami menyampaikan terimakasih.

*Wassalamu'alaikum wr. wb.*

Yogyakarta, 16 Januari 2014

Pembimbing

Endaraji Setiyadi, M.Sc.

## **SURAT PERNYATAAN KEASLIAN SKRIPSI**

Saya yang bertanda tangan di bawah ini:

Nama : Zaud Alzaky  
NIM : 09630004  
Program Studi : Kimia  
Fakultas : Sains dan Teknologi

Menyatakan bahwa Skripsi saya yang berjudul:

### **Pengaruh Penambahan Lempung Dengan Jenis Berbeda Pada Sintesis Komposit Magnetit-Lempung**

merupakan hasil penelitian saya sendiri dan bukan duplikasi ataupun saduran dari karya orang lain kecuali pada bagian secara tertulis diacu dalam naskah ini dan disebutkan dalam daftar pustaka.

Apabila dikemudian hari adanya penyimpangan dalam karya ini maka tanggung jawab sepenuhnya ada pada penulis.

Yogyakarta, 20 Januari 2014

Penulis,



Zaud Alzaky  
NIM. 09630004



Universitas Islam Negeri Sunan Kalijaga

FM-UINSK-BM-05-07/R0

**PENGESAHAN SKRIPSI/TUGAS AKHIR**

Nomor : UIN.02/D.ST/PP.01.1/496/2014

Skripsi/Tugas Akhir dengan judul : Pengaruh Penambahan Lempung dengan Jenis Berbeda pada Sintesis Komposit Fe<sub>3</sub>O<sub>4</sub>-Lempung

Yang dipersiapkan dan disusun oleh :

Nama : Zaud Alzaky

NIM : 09630004

Telah dimunaqasyahkan pada : 7 Februari 2014

Nilai Munaqasyah : A -

Dan dinyatakan telah diterima oleh Fakultas Sains dan Teknologi UIN Sunan Kalijaga

**TIM MUNAQASYAH :**

Ketua Sidang

Endaraji Sedyadi, M.Sc

Penguji I

Pedy Artsanti, M.Sc

Penguji II

Irwan Nugraha, M.Sc  
NIP 19820329 201101 1 005

Yogyakarta, 13 Februari 2014

UIN Sunan Kalijaga  
Fakultas Sains dan Teknologi  
Dekan



Prof. Drs. H. Akh. Minhaji, M.A, Ph.D  
NIP. 19580919 198603 1 002

## **MOTTO**

Sesungguhnya sesudah kesulitan ada kemudahan.

Maka apabila engkau telah selesai (dari suatu urusan), maka kerjakanlah  
(urusan yang lain) dengan sungguh-sungguh

(Q.S. Al-Insyirah : 6-7)

Barangsiapa yang bertakwa kepada Allah,

Niscaya Dia akan mengadakan jalan keluar baginya,

dan memberinya rizqi dari arah yang tidak disangka - sangkanya

(Q.S.Ath-Thalaq : 2 - 3)

Jadikan kepandaian sebagai kebahagiaan bersama, sehingga mampu

meningkatkan rasa ikhlas tuk bersyukur atas kesuksesan

(Mario Teguh)

Selalu jadi diri sendiri dan jangan pernah menjadi orang lain meskipun mereka

tampak lebih baik dari Anda

## **HALAMAN PERSEMBAHAN**

*Karya ini saya persembahkan kepada.....*

*Alm. Ayahanda Tercinta*

*Bunda Tercinta*

*Kakak-kakakku Tercinta*

*Keluarga Besar Tercinta di Sumbawa-NTB*

*Dan untukmu*

*Almamaterku Tercinta*

*Program Studi Kimia*

*Fakultas Sains dan Teknologi*

*Universitas Islam Negeri Sunan Kalijaga Yogyakarta*

## **KATA PENGANTAR**

Bismillaahirrohmaanirrohim

Segala puji syukur kehadirat Allah SWT, karena Ridhlo-Nya skripsi ini, yang berjudul “ PENGARUH PENAMBAHAN LEMPUNG DENGAN JENIS BERBEDA PADA SINTESIS KOMPOSIT MAGNETIT ( $Fe_3O_4$ )-LEMPUNG” hingga selesai dengan baik.

Skripsi ini disusun sebagai hasil penelitian yang telah penulis lakukan untuk memenuhi sebagian syarat guna memperoleh gelar Sarjana Sains pada Jurusan Kimia Fakultas Sains dan Teknologi Universitas Islam Negeri Sunan Kalijaga Yogyakarta.

Penulis telah banyak menerima bantuan, dorongan dan pertunjuk serta fasilitas dalam penggerjaan skripsi ini. Oleh karena itu, penulis mengucapkan banyak terima kasih kepada semua pihak, terutama kepada :

1. Prof. Drs. H. Akh. Minhajii, M.A, Ph.D., selaku Dekan Fakultas Sains dan Teknologi UIN Sunan Kalijaga Yogyakarta.
2. Ibu Esti Wahyu Widowati, M.Si, M.Biotech, selaku Kepala Program Studi Kimia Fakultas Sains dan Teknologi UIN Sunan Kalijaga Yogyakarta.
3. Ibu Dr. Susy Yunita Prabawati selaku Dosen Pembimbing Akademik.
4. Bapak Endaruji Setyadi S.Si., M.Sc, selaku Dosen Pembimbing Skripsi yang telah berkenan meluangkan waktu dengan penuh kesabaran telah membantu dan memberikan bimbingan yang berguna demi terselesaikannya skripsi ini.

5. Dosen-dosen Program Studi Kimia Fakultas Sains dan Teknologi UIN Sunan Kalijaga Yogyakarta atas semua ilmu yang berguna dalam penyusunan skripsi ini.
6. Bapak A. Wijayanto, S.Si., Bapak Indra Nafiyanto, S.Si., dan Ibu Isnin Gustanti, S.Si. selaku PLP Laboratorium Kimia UIN Sunan Kalijaga Yogyakarta yang telah memberikan pengarahan dan dorongan selama melakukan penelitian.
7. Orang tuaku Alm Ayahanda tercinta Umar Imran, Ibunda tercinta Endang, serta Kakak-kakakku (Kak Yun, Kak Fany, Kak Alby dan Kak Aya) dan semua keluarga besarku tersayang yang berada di Sumbawa-NTB yang selalu mendoakan penulis serta memberikan dorongan baik moril maupun materil yang tidak ternilai harganya.
8. Shelly Agustiningrum yang telah banyak membantu, bekerja sama dan memberi saran-saran yang membangun selama penelitian.
9. Sahabat-sahabat karibku Ali, Izza dan Zain yang telah memberi semangat, motivasi, hiburan, canda tawa dan ngopi bareng tak kan terlupakan selama 4 tahun ini.
10. Sahabat-sahabat seperjuangan Kimia 2009 Dika, Andri, Defri dan lainnya yang tidak bisa penulis sebutkan satu persatu, kalian tidak akan terlupakan. Semoga Allah berkenan memberikan balasan yang lebih baik atas pengorbanan yang diberikan.

Penulis menyadari bahwa banyak kekurangan dalam penulisan skripsi ini.

Oleh karena itu, kritik dan saran yang membangun akan sangat membantu penulis

dalam memperbaikinya. Semoga karya kecil ini dapat memberikan manfaat bagi perkembangan ilmu pengetahuan dan kita semua.

Yogyakarta, 17 Januari 2014

Penulis



## DAFTAR ISI

	<b>Halaman</b>
<b>HALAMAN PERSETUJUAN .....</b>	i
<b>HALAMAN PERNYATAAN KEASLIAN .....</b>	ii
<b>HALAMAN PENGESAHAN .....</b>	iii
<b>HALAMAN MOTTO .....</b>	iv
<b>HALAMAN PERSEMBAHAN .....</b>	v
<b>KATA PENGANTAR.....</b>	vi
<b>DAFTAR ISI.....</b>	ix
<b>DAFTAR GAMBAR.....</b>	xii
<b>DAFTAR TABEL .....</b>	xiii
<b>DAFTAR LAMPIRAN .....</b>	xiv
<b>ABSTRAK.....</b>	xv
 <b>BAB I PENDAHULUAN</b>	
A. Latar Belakang .....	1
B. Batasan masalah .....	6
C. Rumusan Masalah .....	6
D. Tujuan Penelitian .....	7
E. Manfaat Penelitian .....	7
 <b>BAB II TINJAUAN PUSTAKA DAN LANDASAN TEORI</b>	
A. Tinjauan Pustaka .....	8
B. Landasan Teori.....	12
1. Magnetit ( $\text{Fe}_3\text{O}_4$ ) .....	12

2. Lempung .....	18
3. Komposit.....	25
4. Metode Kopresipitasi .....	28
5. <i>Fourier Transform Infrared</i> (FTIR) .....	31
6. <i>X-Ray Diffraction</i> (XRD).....	34

### **BAB III METODE PENELITIAN**

A. Waktu dan Tempat Penelitian.....	37
B. Alat dan Bahan Penelitian .....	37
C. Prosedur Penelitian.....	38
1. Preparasi Lempun .....	38
2. Preparasi Magnetit ( $\text{FeO}_4$ )-Lempung .....	38

### **BAB IV HASIL PENELITIAN DAN PEMBAHASAN**

A. Preparasi Bentonit .....	40
1. Hasil Karakterisasi Bentonit Sebelum dan Sesudah Pemurnian Menggunakan FTIR .....	41
2. Hasil Karakterisasi Bentonit Sebelum dan Sesudah Pemurnian Menggunakan XRD .....	44
B. Sintesis Magnetit ( $\text{Fe}_3\text{O}_4$ )-Bentonit.....	46
1. Sintesis Komposit $\text{Fe}_3\text{O}_4$ -Bentonit dengan Variasi Jenis Bentonit .	47
1. Hasil Karakterisasi Komposit $\text{Fe}_3\text{O}_4$ -Bentonit Variasi Jenis Bentonit Menggunakan FTIR .....	47
2. Hasil Karakterisasi Komposit $\text{Fe}_3\text{O}_4$ -Bentonit Variasi Jenis Bentonit Menggunakan XRD .....	50

2. Sintesis Komposit Fe <sub>3</sub> O <sub>4</sub> -Montmorilonit dengan Variasi Gram Montmorilonit.....	52
1. Hasil Karakterisasi Komposit Fe <sub>3</sub> O <sub>4</sub> -Montmorilonit Variasi Gram Montmorilonit Menggunakan XRD.....	53

## **BAB V KESIMPULAN DAN SARAN**

A. Kesimpulan .....	56
B. Saran.....	56

**DAFTAR PUSTAKA.....** 57

**LAMPIRAN .....** 63

## DAFTAR GAMBAR

	<b>Halaman</b>
Gambar 2.1 Struktur Magnetit.....	13
Gambar 2.2 Feromagnetik, Antiferomagnetik dan Ferimagnetik .....	16
Gambar 2.3 Struktur Magnetit ( $\text{Fe}_3\text{O}_4$ ).....	17
Gambar 2.4 Struktur <i>Kaulinite</i> .....	22
Gambar 2.5 Struktur <i>Montmorillonite</i> .....	23
Gambar 2.6 Struktur <i>Illite</i> .....	24
Gambar 2.7 Skema Alat Analisis <i>Infrared</i> (IR) .....	31
Gambar 2.8 Difraksi Sinar-X .....	35
Gambar 4.1 Hasil Karakterisasi IR untuk Bentonit Alam .....	41
Gambar 4.2 Hasil Karakterisasi Bentonit Alam Menggunakan XRD .....	44
Gambar 4.3 Hasil Karakterisasi IR $\text{Fe}_3\text{O}_4$ -Bentonit dengan Variasi Jenis Bentonit .....	48
Gambar 4.4 Hasil Difraksi Sinar X Komposit $\text{Fe}_3\text{O}_4$ -Bentonit dengan Variasi Jenis Bentonit .....	50
Gambar 4.5 Hasil Difraksi Sinar X Komposit $\text{Fe}_3\text{O}_4$ -Montmorillonit Variasi Garam.....	54

## DAFTAR TABEL

	Halaman
Tabel 2.1 Komposisi Kimia Bentonit .....	21
Tabel 2.2 Beberapa Pita Absorpsi Inframerah .....	33
Tabel 4.1 Puncak Serapan FTIR Bentonit Alam Sebelum Pemurnian dan Sesudah Pemurnian.....	43
Tabel 4.2 Data Hasil Sintesis Komposit $\text{Fe}_3\text{O}_4$ -Bentonit dengan Variasi Jenis Bentonit .....	47
Tabel 4.3 Data Hasil Sintesis Komposit $\text{Fe}_3\text{O}_4$ -Montmorilonit dengan Variasi Gram .....	52



## **DAFTAR LAMPIRAN**

	<b>Halaman</b>
Lampiran 1 : Gambar Padatan Material Bentonit Hasil Preparasi Bentonit ..	63
Lampiran 2 : Gambar Hasil Sintesis Magnetit-Montmorilonit Variasi Penembahan Montmorilonit .....	64
Lampiran 3 : Data Karakterisasi Bentonit Murni .....	65
Lampiran 4 : Data Karakterisasi Bentonit Larut Dalam Air .....	67
Lampiran 5 : Data Karakterisasi Bentonit Tidak Larut Dalam Air .....	69
Lampiran 6 : Data Karakterisasi Komposit Magnetit-Montmorilonit .....	72
Lampiran 7 : Data Karakterisasi Komposit Magnetit-Bentonit .....	75
Lampiran 8 : Data Karakterisasi Komposit magnetit-Bnetonit Tidak Larut Dalam Air.....	78



## BAB I

### PENDAHULUAN

#### A. Latar Belakang

Kontaminasi logam berat pada lingkungan perairan merupakan masalah besar di dunia saat ini. Persoalan spesifik logam berat di lingkungan terutama karena akumulasinya sampai pada rantai makanan dan keberadaannya di alam, serta meningkatkan sejumlah logam berat yang menyebabkan keracunan terhadap tanah, udara dan air meningkat.

Keberadaan logam-logam berat di lingkungan seperti tembaga, kadmium dan timbal merupakan masalah lingkungan yang perlu mendapat perhatian serius. Adanya ion-ion logam berat dalam limbah industri telah lama menjadi objek dalam bidang kimia analitik dan kimia lingkungan. Limbah yang mengandung logam berat perlu mendapat perhatian khusus, mengingat dalam konsentrasi tertentu dapat memberikan efek toksik yang berbahaya bagi kehidupan manusia dan lingkungan di sekitarnya (lelifajri, 2010).

Logam berat adalah jenis polutan yang paling banyak ditemukan pada berbagai perairan limbah industri. Perairan limbah industri yang mengandung konsentrasi logam berat rendah hingga tinggi sering ditemukan pada industri pertambangan, penyepuhan logam, pembuatan baterai, pupuk, kimia, farmasi, elektronik, tekstil, dan lain-lain. Keberadaan logam berat tersebut di perairan limbah industri sangat berbahaya bagi kehidupan manusia dan makhluk hidup lainnya, karena sangat beracun dan tidak dapat terbiodegradasi, sehingga sangat perlu untuk dihilangkan untuk memperoleh perairan yang memenuhi standar

kualitas lingkungan. Dengan demikian, sangat perlu dikembangkan teknologi untuk mengontrol konsentrasi logam berat dalam perairan limbah industri (Sivaiah *et al.*, 2004).

Banyak metode yang telah dikembangkan untuk menangani masalah limbah di perairan, termasuk presipitasi, ekstraksi, separasi dengan membran (Jain *et al.*, 2005), pertukaran ion (Sivaiah *et al.*, 2004), dan adsorpsi. Metode presipitasi adalah metode yang paling ekonomis tetapi inefisien untuk larutan encer, metode pertukaran ion atau osmosis balik pada umumnya efektif, tetapi memerlukan peralatan dan biaya operasional yang relatif tinggi. Metode adsorpsi adalah salah satu metode alternatif yang potensial karena prosesnya yang relatif sederhana, dapat bekerja pada konsentrasi rendah, dapat di daur ulang, dan biaya yang dibutuhkan relatif murah (Blais *et al.*, 2000).

Proses adsorpsi melibatkan gaya tarik-menarik antarmolekul, pertukaran ion, dan ikatan kimia. Karbon aktif banyak digunakan sebagai adsorben yang efektif dalam berbagai aplikasi serta paling banyak digunakan dalam proses adsorpsi untuk perlakuan limbah industri cair (Jusoh *et al.*, 2007). Namun, pengambilan ion logam dengan metode adsorpsi menggunakan karbon aktif komersial membutuhkan biaya relatif mahal. Karbon aktif juga dapat mengalami penurunan aktivitas sebesar 10 - 15 % selama regenerasi. Selain itu karbon aktif merupakan bahan yang besifat dapat terbakar (*combustible material*), sehingga kurang tepat jika diaplikasikan pada suhu tinggi (Yenisoy-karakas *et al.*, 2004).

Berdasarkan hal tersebut maka dilakukan percobaan adsorpsi menggunakan magnetit. Partikel magnetik merupakan suatu material yang

memiliki berbagai keunggulan, antara lain: bersifat superparamagnetik, kejenuhan magnet yang tinggi, kontribusi anisotropi yang bagus, dan biokompatibel. Fenomena ini terus meningkat seiring pengaruh ukuran dan permukaan yang didominasi oleh sifat magnetik dari masing-masing partikel (Kornak, 2005). Selain sifat magnetik yang dimiliki, material magnetik dapat dimanfaatkan untuk berbagai aplikasi, seperti: pemisahan/ amobilisasi enzim (Shao, 2009), transport obat, serapan gelombang mikro, fotokatalis, aplikasi biologi, biomédik, pemisahan logam, *magnetic resonance imaging* (MRI), hipertermia dan lain-lain (Dang, 2010).

Diantara oksida-oksida logam transisi, oksida besi merupakan suatu material yang sangat menarik untuk dipelajari. Secara alamiah bahan-bahan tersebut ditemukan dalam bentuk mineral oksida besi berupa magnetit ( $\text{Fe}_3\text{O}_4$ ), maghemit ( $\text{-Fe}_2\text{O}_3$ ) dan hematit ( $\text{-Fe}_2\text{O}_3$ ). Perbedaan suhu kalsinasi akan menghasilkan berbagai bentuk fasa oksida besi, dimana  $\text{Fe}_3\text{O}_4$  (suhu ruang),  $\text{-Fe}_2\text{O}_3$  (kalsinasi 200 °C) dan  $\text{-Fe}_2\text{O}_3$  (kalsinasi 300-600 °C) (Chirita, 2009).

Berbagai penelitian telah melaporkan bahwa partikel magnetit tanpa modifikasi memiliki kestabilan termal yang rendah (Li, 2005) dan dapat mengalami reaksi balik membentuk fasa intermediet FeOOH. Selain itu juga partikel magnetit memiliki sifat kelarutan yang rendah. Menyiasati hal tersebut, maka dilakukan pelapisan (*encapsulation*) pada berbagai material pendukung, seperti material alam misalkan lempung ataupun zeolit (Safee, 2009).

Penggunaan adsorben alami yang murah dan berlimpah tentu sangat menguntungkan, akan tetapi untuk mengetahui senyawa aktif yang berfungsi

sebagai adsorben dari bahan-bahan tersebut bukanlah pekerjaan yang mudah, hal ini dapat menyulitkan dalam menjelaskan fenomena adsorpsi yang terjadi. Oleh karena itu perlu dicari adsorben lain yang strukturnya diketahui dengan pasti, dan hal ini dapat diperoleh dari hasil sintesis.

Adsorben yang digunakan dalam proses adsorpsi harus memenuhi kriteria yang dibutuhkan, di antaranya mempunyai daya serap yang besar terhadap larutan, zat padat yang mempunyai luas permukaan yang besar, tidak larut dalam zat cair yang akan diadsorpsi, tidak beracun dan mudah didapat, serta memiliki harga yang relatif murah. Karbon aktif, mineral lempung, zeolit, biomaterial, dan beberapa limbah padat industri telah banyak digunakan sebagai adsorben untuk adsorpsi ion dan nonionik dalam pengolahan air limbah (Wang dan Peng 2010).

Mineral lempung umumnya ditemukan dalam beberapa kelompok besar, seperti kaolinit, mika, montmorilonit, klorit, illit dan vermiculit (Goenadi, 1982). Di alam, mineral montmorilonit ditemukan dalam tanah bentonit. Montmorilonit kualitas komersial sering juga dinamakan bentonit. Tanah bentonit mengandung kurang lebih 85% montmorilonit, dengan ciri-ciri antara lain: jika diraba licin, lunak, memiliki kilap lilin, berwarna pucat dengan penampakkan putih, hijau muda, kelabu, atau merah muda bila dalam keadaan segar dan jika telah lapuk berwarna coklat kehitaman (Riyanto, 1994).

Kelompok montmorilonit paling banyak menarik perhatian karena montmorilonit memiliki kemampuan untuk mengembang (*swelling*) bila berada dalam air atau larutan organic serta memiliki kapasitas penukar ion yang tinggi sehingga mampu mengakomodasikan kation dalam antarlapisnya dalam jumlah

besar (Ogawa, 1992). Dengan memanfaatkan sifat khas dari montmorilonit tersebut, maka antarlapis silikat lempung montmorilonit dapat disisipi (diinterkalasi) dengan suatu bahan yang lain (misalnya: senyawa organik atau oksida-oksida logam) untuk memperoleh suatu bentuk komposit yang sifat fisikokimianya lebih baik dibandingkan lempung sebelum dimodifikasi. Sifat-sifat fisikokimia tersebut merupakan bagian yang penting pada setiap karakterisasi lempung baik sebagai katalis, pendukung katalis, maupun adsorben (Goenadi, 1982).

Berdasarkan sifat fisiknya, montmorilonit dapat dibagi menjadi dua kelompok, yaitu : Na-montmorilonit dan Ca-montmorilonit. Na-montmorilonit memiliki kandungan  $\text{Na}^+$  yang besar pada antar lapisnya. Selain itu memiliki sifat mudah mengembang bila direndam dalam air dan akan terbentuk suspensi bila didispersikan ke dalam air. Untuk Ca-montmorilonit, kandungan  $\text{Ca}^{2+}$  dan  $\text{Mg}^{2+}$  relatif lebih banyak bila dibandingkan dengan kandungan  $\text{Na}^+$ . Ca-montmorilonit memiliki sifat sedikit menyerap air dan jika didispersikan ke dalam air akan cepat mengendap atau tidak terbentuk suspensi (Wijaya *et al.*, 2004).

Dalam penelitian ini diharapkan magnetit yang telah dilapisi lempung akan menjadi suatu komposit yang benar-benar baik dalam mengadsorb logam berat serta efisien dan dapat mengikat logam-logam berat seperti Cu dan Ni.

## B. Batasan Masalah

Berdasarkan latar belakang penelitian, maka agar penelitian ini tidak meluas dalam pembahasannya dilakukan pembatasan masalah sebagai berikut:

1. Material alam yang digunakan untuk melapisi magnetit ( $\text{Fe}_3\text{O}_4$ ) adalah Na-Bentonit
2. Metode preparasi montmorilonit, kaolinit dan ilit menggunakan metode preparasi sedimentasi
3. Metode sintesis magnetit ( $\text{Fe}_3\text{O}_4$ ) menggunakan metode kopresipitasi.
4. Parameter yang diteliti dalam sintesis komposit magnetit-lempung dibatasi pada pengaruh perbedaan jenis lempung dan penambahan massa montmorilonit.

## C. Rumusan Masalah

Berdasarkan batasan masalah, maka agar lebih mempermudah dalam pembahasannya, maka dilakukan perumusan masalah sebagai berikut:

1. Bagaimana karakteristik komposit magnetit-lempung yang di sintesis dengan perbedaan jenis lempung?
2. Bagaimana karakteristik komposit magnetit-lempung yang di sintesis dengan penambahan massa montmorilonit?

#### **D. Tujuan Penelitian**

Berdasarkan rumusan masalah diatas, maka tujuan penelitian ini adalah:

1. Mengetahui pengaruh perbedaan jenis lempung dalam sintesis komposit magnetit-lempung
2. Mengetahui pengaruh penambahan massa montmorilonit dalam sintesis komposit magnetit-montmorilonit

#### **E. Manfaat Penelitian**

Hasil penelitian ini bermanfaat untuk:

1. Memperluas ilmu pengetahuan khususnya dalam bidang kimia material dan bahan alam
2. Memberikan informasi karakteristik komposit magnetit-lempung yang disintesis dengan metode kopresipitasi
3. Memberikan informasi awal tentang faktor-faktor yang mempengaruhi karakteristik komposit megnetit-lempung, sehingga kedepannya dapat digunakan untuk meningkatkan kualitas komposit yang disintesis

## **BAB V**

### **KESIMPULAN DAN SARAN**

#### **A. Kesimpulan**

Berdasarkan penelitian yang telah dilakukan, maka dapat diambil kesimpulan sebagai berikut:

1. Karakter terbaik dari  $\text{Fe}_3\text{O}_4$  varisai jenis bentonit diperoleh pada komposit  $\text{Fe}_3\text{O}_4$ -montmorilonit dengan puncak  $\text{Fe}_3\text{O}_4$  terbanyak yaitu puncak tertinggi magnetit muncul pada daerah  $2 : 35,69^\circ$ ;  $62,96^\circ$  dan  $30,39^\circ$  ( $d: 2,51 \text{ \AA}$ ;  $1,47 \text{ \AA}$  dan  $2,94 \text{ \AA}$ ) dengan tidak munculnya puncak maghemit.
2. Karakter terbaik dari komposit  $\text{Fe}_3\text{O}_4$ -montmorilonit variasi 3 gram montmorilonit dimana puncak difraksi  $\text{Fe}_3\text{O}_4$  muncul pada daerah  $2 : 35,46^\circ$ ;  $62,71^\circ$  dan  $30,11^\circ$  ( $d: 2,53 \text{ \AA}$ ;  $1,48 \text{ \AA}$  dan  $2,97 \text{ \AA}$ ) dan untuk puncak difraksi montmorillonit muncul pada daerah  $2 : 19,72^\circ$ ;  $62,20^\circ$  dan  $5,080^\circ$  ( $d: 4,49 \text{ \AA}$ ;  $1,50 \text{ \AA}$  dan  $17,4 \text{ \AA}$ ) yang diperoleh pada variasi 3 gram montmorilonit dengan tidak munculnya puncak dari maghemit.

#### **B. Saran**

Berdasarkan hasil penelitian yang telah dilakukan, hal yang perlu dilakukan untuk menyempurnakan penelitian ini adalah :

1. Perlu dilakukan penelitian lebih lanjut mengenai kemampuan absorpsi dari komposit  $\text{Fe}_3\text{O}_4$ -montmorilonit

2. Perlu dilakukan penelitian lebih lanjut mengenai kemampuan komposit  $\text{Fe}_3\text{O}_4$ -montmorilonit dalam hal kelarutan dalam air.

## DAFTAR PUSTAKA

- Alemdar. A., Oztekin. N., B. Erim. F., I. Ece and Gungor. N. 2005. Effects of Polyathylenemine Adsorption Rheology of Bentonite Suspensions. *Bull Mater, Sci.* No. 28. p. 287-291.
- Blais, J.F., Dufresne, B and Mercier, G., 2000,*Rev. Sci. Eau* 12 (4), 687-711.
- Bruice, P. Y. 2001. *Organic Chemistry*. New Jersey: Prentice Hall International Inc.
- Chatwall, G. 1985. *Spectroscopy Atomic and Molecule*. Himalaya Publishing House: Bombay
- Chirita, M and Grozescu. 2009. Fe<sub>2</sub>O<sub>3</sub>-Nanoparticle, Physical Properties and Their Photochemical and Photoelectrochemical Applications. *Chem. Bull.* 54. 68: 1-8.
- Costaa, A. C. F. M. 2003. Synthesis, Microstructure and Magnetic Properties Of Ni-Zn Ferrites. *Journal of Magenetism and Magnetic Materials* 256: 174-182.
- Dang, F., N. Enomoto., J. Hojo and K. Enpuku. 2010. Sonochemical Coating of Magnetite Nanoparticles with Silica. *Ultrasonic Sonochemistry*. 17: 193-199.
- Das Braja M. 1988. *Mekanika Tanah (Prinsip-Prinsip Rekayasa Geoteknis) Jilid 1*. Jakarta: Erlangga
- Das, Braja M. 1998. *Mekanika Tanah (prinsip-prinsip rekayasa geoteknis) jilid 1*. Surabaya: Erlangga
- Day, Jr.R.A. dan Underwood, A.L. 1989. *Analisis Kimia Kuantitatif*. Jakarta: Erlangga
- Evans, Michael. 2003. *Enviromental Magnetism*. California, USA: Academic Press
- Fisli A., Hamsah D., Wardiyati dan Ridwan. 2007. Pengaruh suhu pembuatan nanokomposit oksida besi bentonit. *J Sains Mat Indones*. 2, 145-149.
- Goenadi, D.H., 1982, *Dasar-Dasar Kimia Tanah*. Diterjemahan oleh Tan, K. H.
- Grant, N. M., dan Suryanayana, C. 1998. *X-Ray Diffraction : A Partical Approach*. New York: Plenum Press

- Hadi, A. P. 2009. *Kajian transformasi antar fasa pada komposit Fe<sub>3</sub>O<sub>4</sub>/Fe<sub>2</sub>O<sub>3</sub>*. Skripsi Jurusan Fisika FMIPA, Institut Teknologi Sepuluh Novermber: Surabaya
- Jusoh, A., Shiung. LS., Ali N. 2007. Simulation Study of the removal efficiency of granular activated carbon on cadmium and lead. *Desalination*. 206: 9-16.
- Khopkar, S. M. 2003. *Konsep Dasar Kimia Analitik*. Jakarta: UI Press
- Khopkar, S. M. 2007. *Konsep Dasar Kimia Analitik*. Jakarta: UI Press
- Kornak R, D. Niznasky., K. Haimann., W. Tylus and K. Maruszewsky. 2005. Synthesis of Magnetic Nanoparticles via the Sol-Gel Technique. *Materials Science-Poland*. 23, 1, 87-92.
- Lelifajri. 2010. *Adsorpsi Ion Logam Cu(II) Menggunakan Lignin dari Limbah Serbuk Kayu Gergaji*. Skripsi Fakultas Matematika dan Ilmu Pengetahuan Alam, Universitas Syiah Kuala: Banda aceh.
- Li, Zhen., Q. Sun., and M. Gao. 2005. Preparation of Water-Soluble Magnetite Nanocrystals from Hydrated Ferric Salt in 2-Pyrrolidone : Mechanism Leading to Fe<sub>3</sub>O<sub>4</sub>. *Angew. Chem. Int. Ed.* 44: 123-126.
- Permanasari, Anna., Siswaningsih, W., dan Irnawati Wulandari. 2010. *Uji Kinerja Adsorben Kitosan-Bentonit terhadap Logam Berat dan Diazinon Secara Simultan*. Jurnal Program Studi Kimia Fakultas Pendidikan Matematika dan Ilmu Pengetahuan Alam UPI
- Pertiwi, C. 2007. *Sintesis Magnetit (Fe<sub>3</sub>O<sub>4</sub>) dengan Metode Kopresipitasi serta Aplikasinya untuk Adsorpsi Cd(II)*. Skripsi Fakultas Matematika dan Ilmu Pengetahuan Alam. Universitas Gadjah Mada Yogyakarta
- Pertiwi, D. 2007. *Sintesis Magnetit dengan Metode Kopresipitasi serta Kajian Kelayakan Adsorbsinya terhadap Cr(III)*. Skripsi Fakultas Matematika dan Ilmu Pengetahuan Alam. Universitas Gadjah Mada Yogyakarta
- Riyanto, A. 1994. *Bahan Galian Industri Bentonit*. Direktorat Jendral Pertambangan Umum, Pusat Penelitian dan Pengembangan Teknologi Mineral: Bandung
- Safee, N. H. A. 2009. *Synthesis and Characterization of Carbocymethyl Chitosan-Fe<sub>3</sub>O<sub>4</sub> Nanoparticles*. Prosiding Seminar Kimia Bersama UKM-ITB VIII, 9-11 Juni 2009. P: 474-479.

- Sastrohamidjojo, H. 2007. *Spektroskopi Edisi Ketiga*. Yogyakarta: Liberty
- Sekewael, Serly J. 2008. Karakterisasi Sifat Fisikokimia Komposit Besi Oksida-Montmorilonit Hasil Interkalasi Silikat Lempung Montmorilonit. *Indonesia Chemica Acta*. ISSN 2085-014X, Vol. 1. No. 1.
- Shao, D. et.,al. 2009. *Effective Adsorption and Separation of Lysozyme with PAA-modified Fe<sub>3</sub>O<sub>4</sub>@Silica Core-Shell Microsphere*. Journal of Colloid and Interface Science. 336: 526-532.
- Sholihah, Lia Kurnia. 2010. *Sintesis dan Karakteristik Partikel Nano Fe<sub>3</sub>O<sub>4</sub> yang Berasal Dari Pasir Besi dan Fe<sub>3</sub>O<sub>4</sub> Bahan Komersial (Aldrich)*. Tesis Jurusan Fisika, Fakultas Matematika dan Ilmu Pengetahuan Alam ITS. Surabaya.
- Sivaiah, M.V. et.,al. 2004. *Ion Exchange Studies of Cerium(III) on Uranium antimonite*. J. Nucl. Radiochem. Sci., 5, 1, 7-10.
- Suharyana. 2012. *Dasar-Dasar Dan Pemanfaatan Metode Difraksi Sinar-X*. Skripsi Universitas Sebelas Maret: Surakarta
- Taqiyah, R. 2012. *Perbandingan Struktur Kristal dan Morfologi Lapisan Tipis Barium Titanat (BT) dan Barium Zirkonium Titanat (BZT) yang ditumbuhkan dengan Metode Sol-Gel*. Skripsi, Fisika FMIPA Universitas Sebelas Maret: Surakarta
- Vlack, L. H. 2004. *Elemen-elemen Ilmu dan Rekayasa Material*. (diterjemahkan oleh: S. Djaprie) Jakarta: Erlangga
- Vogel, A. I. 1979. *Textbook of Macro and Semimicro Qualitative Inorganic Analysis*. 5<sup>th</sup> ed. London: Longman. Inc.
- Widodo, Basuki. 2008. Analisa Sifat Mekanik Komposit Epoksi dengan Penguat Serat Pohon Aren (Ijuk) model Lamina Berorientasi Sudut Acak (Random). *Jurnal Teknologi TECHNOSCINTIA*, Vol. 1 No. 1.
- Widyawati, N. 2012. *Analisa Pengaruh Heating Rate terhadap tingkat Kristal dan Ukuran Butir Lapisan BZT yang Ditumbuhkan dengan Metode Sol Gel*. Universitas Sebelas Maret: Surakarta.
- Wijaya K., Eko S., Mudasir., Iqmal T dan Ika L. 2004. Synthesis of Iron Oxide-Montmorilonit Composite and Study of its Structural Stability Againts Sulfuric Acid. *Indo. J. Chem.*, 2004, 5. No. 1, Vol. 1.

Wijaya K., Iqmal T dan Nanik H. 2005. Synthesis of Fe<sub>2</sub>O<sub>3</sub>-Montmorilonit and its Application as A Photocatalyst for Degradation of Congo Red Dye. *Indo. J. Chem.*, 2005, 5. No. 1, 41-47.

Willard, H. 1988. *Instrumental Methods of Analysis*. Wadsworth Publishing company: California

Yulia, Istinia., Karna K., Iqmal T dan Mudasir. 2003. Pilarisasi dan Karakterisasi Montmorilonit. *Jurnal SainsMateri Indonesia Indonesian Journal ofMaterials Science*. ISSN : 1411-1098, Vol. 4, No. 3, hal : 1 – 7.

# **LAMPIRAN-LAMPIRAN**

**LAMPIRAN**

Lampiran 1: Gambar Padatan Material Bentonit Hasil Preparasi Bentonit



Bentonit Alam

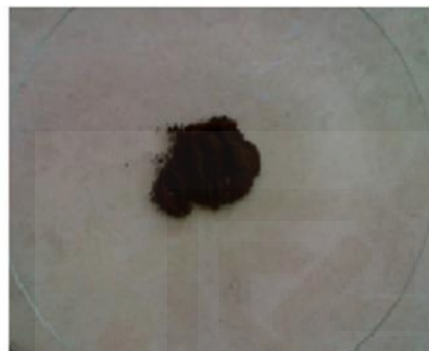


Bentonit Larut dalam Air atau Montmorilonit



Bentonit Tak Larut dalam Air

Lampiran 2: Gambar Hasil Sintesis Magnetit-Montmorilonit Variasi Penambahan Montmorilonit



Variasi 1,5 gram



Variasi 4,5 gram



Variasi 3 gram



Variasi 6,5 gram

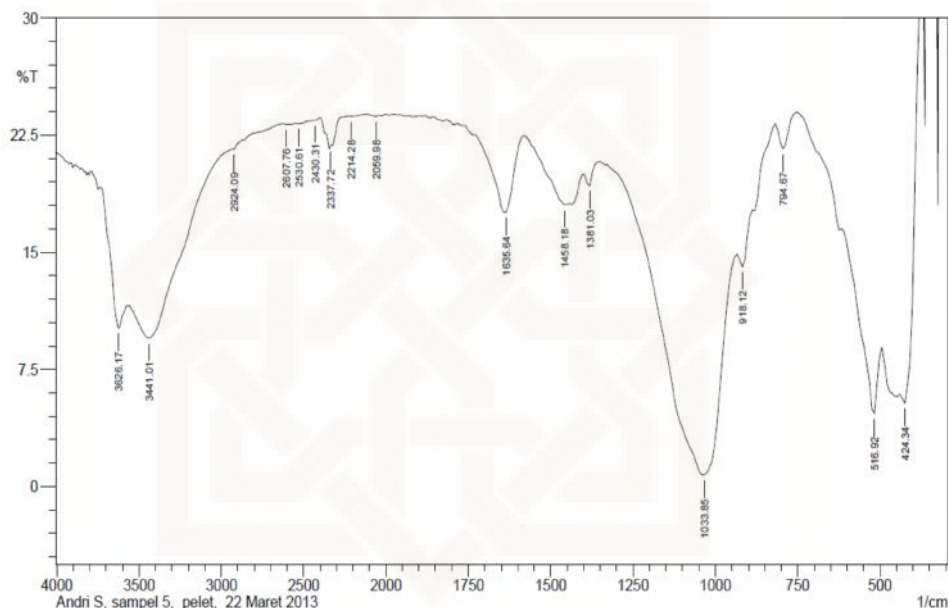
### Lampiran 3: Data Karakterisasi Bentonit Murni

#### 1. Data FTIR

 SHIMADZU



Lab. Kimia Organik FMIPA - UGM



	Peak	Intensity	Corr. Intensity	Base (H)	Base (L)	Area	Corr. Area
1	424.34	5.34	7.18	439.77	378.05	57.83	7.77
2	516.92	4.69	4.75	609.51	501.49	112.12	10.14
3	794.67	21.62	1.88	817.82	756.1	39.69	1.01
4	918.12	14.06	1.96	933.55	825.53	79.59	1.43
5	1033.85	0.72	15.37	1350.17	941.26	461.98	152
6	1381.03	19.25	1.03	1396.46	1357.89	26.95	0.35
7	1458.18	18.03	2.72	1573.91	1404.18	120.22	5.5
8	1635.64	17.55	5.12	1759.08	1581.63	121.87	7.86
9	2059.98	23.7	0.09	2113.98	2029.11	52.99	0.08
10	2214.28	23.7	0.02	2222	2121.7	62.59	0.03
11	2337.72	21.8	1.79	2391.73	2229.71	103.73	2.21
12	2430.31	23.46	0.03	2438.02	2399.45	24.25	0.02
13	2530.61	23.22	0.06	2546.04	2476.6	43.94	0.05
14	2607.76	23.18	0.04	2623.19	2546.04	48.94	0.04
15	2924.09	21.57	0.04	2931.8	2630.91	194.3	0
16	3441.01	9.5	3.98	3556.74	2947.23	510.01	26.64
17	3626.17	10.14	3.81	3726.47	3579.88	130.35	8.2

## 2. Data XRD

```
*** Basic Data Process ***

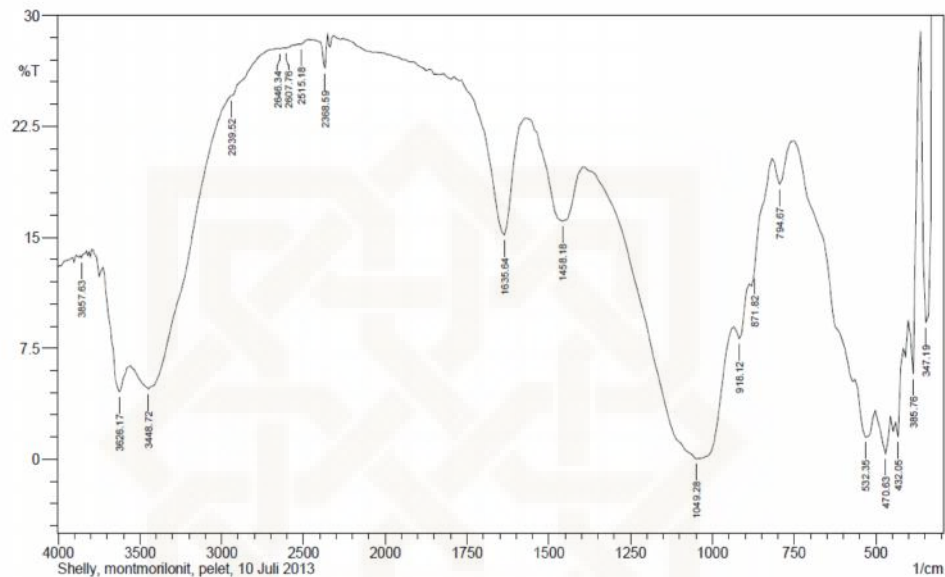
Group Name : Data 2013
Data Name : Shelly Agustiningrum-1
File Name : Shelly Agustiningrum-1.PKR
Sample Name : Tanpa treatment
Comment : Bentonit tanpa treatment

# Strongest 3 peaks
no. peak 2Theta d I/I1 FWHM Intensity Integrated Int
no. (deg) (A) (deg) (Counts) (Counts)
1 1 6.0833 14.51701 100 1.67330 297 26039
2 5 20.2280 4.38649 58 1.34400 173 10361
3 6 21.6600 4.09962 31 1.56000 92 6837

# Peak Data List
peak 2Theta d I/I1 FWHM Intensity Integrated Int
no. (deg) (A) (deg) (Counts) (Counts)
1 6.0833 14.51701 100 1.67330 297 26039
2 12.6100 7.01414 5 1.22000 14 907
3 13.7600 6.43040 4 1.08000 11 773
4 18.1250 4.89043 9 1.07000 26 1491
5 20.2280 4.38649 58 1.34400 173 10361
6 21.6600 4.09962 31 1.56000 92 6837
7 25.4133 3.50201 3 0.74670 10 439
8 26.6200 3.34594 10 0.92000 29 1396
9 28.9200 3.08485 22 2.12000 64 6659
10 31.9600 2.79802 5 0.88000 16 846
11 35.7450 2.50994 25 1.93000 74 7484
12 42.8250 2.10995 5 0.91000 14 873
13 48.2300 1.88536 3 0.58000 9 629
14 54.9100 1.67074 8 2.14000 25 2815
15 62.0900 1.49367 18 1.14000 52 3221
16 65.5100 1.42372 3 0.62000 10 597
17 73.3500 1.28969 5 1.18000 15 1052
18 76.7000 1.24149 5 1.04000 14 846
```

## Lampiran 4: Data Karakterisasi Bentonit Larut Dalam Air

### 1. Data FTIR



	Peak	Intensity	Corr. Intensity	Base (H)	Base (L)	Area	Corr. Area
1	347.19	9.23	61.76	362.62	324.04	27.65	22.29
2	385.76	5.76	12.06	401.19	370.33	28.44	5.35
3	432.05	1.5	2.85	439.77	424.34	23.39	3.24
4	470.63	0.34	2.7	501.49	455.2	86.49	16.48
5	532.35	1.49	3.1	748.38	509.21	260.72	9.55
6	794.67	18.55	1.91	810.1	756.1	37.77	1.03
7	871.82	11.7	1.08	879.54	817.82	47.65	0
8	918.12	8.12	1.85	933.55	894.97	39.85	1.92
9	1049.28	0.02	11.41	1388.75	941.26	647.04	252.52
10	1458.18	16.08	4.87	1566.2	1396.46	123.25	9.13
11	1635.64	15.15	8.73	1766.8	1573.91	132.52	13.87
12	2368.59	26.43	2.26	2430.31	2353.16	42.86	0.89
13	2515.18	28.03	0.08	2522.89	2476.6	25.44	0.02
14	2607.76	27.77	0.07	2615.47	2561.47	29.95	0.03
15	2646.34	27.74	0.03	2654.05	2630.91	12.88	0.01
16	2939.52	24.56	0.1	2947.23	2700.34	142.86	0.05
17	3448.72	4.74	4.83	3556.74	2947.23	583.67	43.83
18	3626.17	4.54	3.81	3726.47	3579.88	170.83	16.15
19	3857.63	13.62	0.21	3865.35	3842.2	19.92	0.06

## 2. Data XRD

\*\*\* Basic Data Process \*\*\*

Group Name : Data 2013  
 Data Name : Shelly Agustiningrum-2  
 File Name : Shelly Agustiningrum-2.PKR  
 Sample Name : Larut dalam air  
 Comment : Larut dalam air

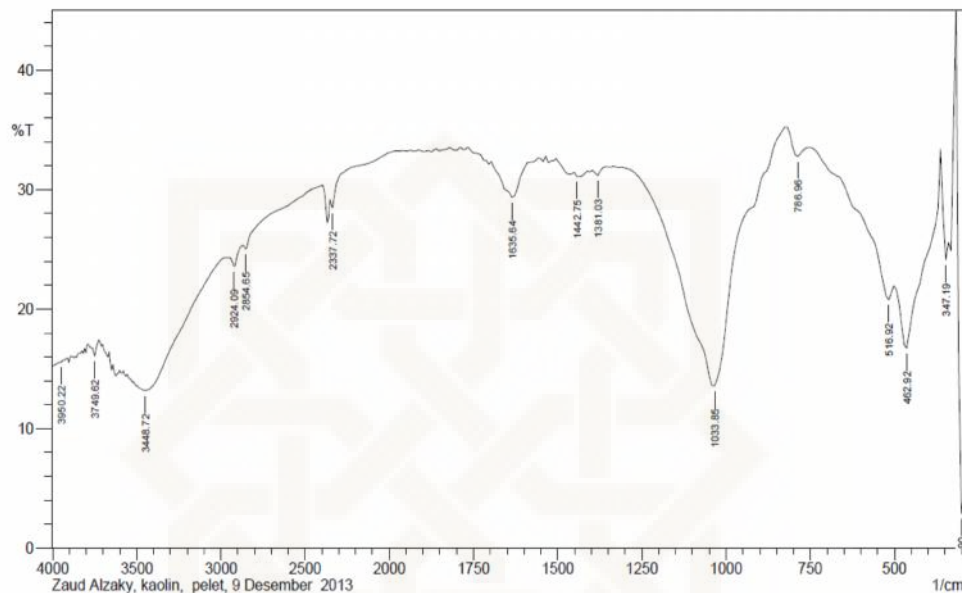
#	Strongest peak no.	2Theta (deg)	d (A)	I/I <sub>1</sub>	FWHM (deg)	Intensity (Counts)	Integrated Int (Counts)
1	1	6.4986	13.59019	100	2.01070	230	24331
2	8	19.9899	4.43820	97	0.70600	223	8703
3	12	28.3526	3.14528	56	1.24130	129	9508

#	Peak List	2Theta (deg)	d (A)	I/I <sub>1</sub>	FWHM (deg)	Intensity (Counts)	Integrated Int (Counts)
1	6.4986	13.59019	100	2.01070	230	24331	
2	8.4600	10.44328	6	0.00000	14	0	66
3	9.9400	8.89142	5	0.04000	11	11	358
4	12.1125	7.30109	5	0.21500	11	11	655
5	13.9083	6.36217	8	0.36330	18	10	119
6	16.5808	5.34224	4	0.18830	56	56	1769
7	17.9910	4.92655	24	0.51800	223	223	8703
8	19.9899	4.43820	97	0.70600	126	126	6643
9	21.6786	4.09614	55	0.89070	32	32	2289
10	25.3980	3.50408	14	1.36400	61	61	1223
11	26.6952	3.33668	27	0.38550	129	129	9508
12	28.3526	3.14528	56	1.24130	27	27	947
13	31.5675	2.83191	12	0.42500	69	69	7511
14	35.6233	2.51823	30	1.91330	9	9	145
15	39.5300	2.27789	4	0.14000	18	18	480
16	42.7885	2.11166	8	0.20700	7	7	107
17	44.5345	2.03284	3	0.09090	9	9	123
18	45.3600	1.99775	4	0.12000	19	19	580
19	48.6300	1.87078	8	0.34000	7	7	66
20	50.0600	1.82064	3	0.05340	82	82	
21	51.4275	1.77539	4	0.13500	9	9	
22	52.4841	1.74211	7	0.13830	16	16	118
23	54.1620	1.69204	15	0.95600	34	34	1466
24	55.1883	1.66298	13	0.96330	31	31	1919
25	61.9912	1.49581	29	0.65750	66	66	2571
26	64.7300	1.43898	8	0.22000	18	18	455
27	67.7116	1.38268	7	0.35670	16	16	676
28	70.2300	1.33914	5	0.10000	11	11	112
29	73.3966	1.28899	13	0.36670	30	30	1303
30	76.6000	1.24286	12	0.26660	27	27	869
31	79.4300	1.20554	4	0.14000	9	9	85

## Lampiran 5: Data Karakterisasi Bentonit Tidak Larut Dalam Air

### 1. Data FTIR



	Peak	Intensity	Corr. Intensity	Base (H)	Base (L)	Area	Corr. Area
1	300.9	2.908	15.268	316.33	293.18	28.659	5.047
2	347.19	24.112	10.215	362.62	324.04	21.738	4.039
3	462.92	16.742	6.574	493.78	370.33	81.564	7.252
4	516.92	20.774	1.881	748.38	501.49	137.141	0.852
5	786.96	32.789	1.576	817.82	756.1	29.4	0.677
6	1033.85	13.584	20.271	1327.03	825.53	301.736	63.915
7	1381.03	31.185	0.568	1396.46	1357.89	19.31	0.123
8	1442.75	31.091	0.379	1450.47	1411.89	19.489	0.138
9	1635.64	29.344	3.639	1766.8	1558.48	104.108	4.03
10	2337.72	28.477	0.875	2353.16	1982.82	183.933	0.178
11	2854.65	25.034	0.322	2862.36	2399.45	253.157	0.082
12	2924.09	23.586	1.055	2947.23	2870.08	47.144	0.551
13	3448.72	13.154	3.231	3556.74	2985.81	432.264	19.103
14	3749.62	16.073	0.958	3765.05	3726.47	29.953	0.425
15	3950.22	15.546	0.068	3957.93	3919.35	31.002	0.035

## 2. Data XRD

```

*** Basic Data Process ***

Group Name : Data 2013
Data Name  : Shelly Agustiningrum-3
File Name   : Shelly Agustiningrum-3.PKR
Sample Name : Tidak Larut di air
Comment    : Tidak Larut di air

# Strongest 3 peaks
no. peak 2Theta      d          I/I1      FWHM      Intensity  Integrated Int
no.      (deg)       (A)        (deg)      (deg)      (Counts)  (Counts)
  1    41  27.9395  3.19084  100  0.15130    907      6892
  2    26  21.8976  4.05567   80  0.17350    723      6008
  3    38  26.7835  3.32588   52  0.20350    475      5271

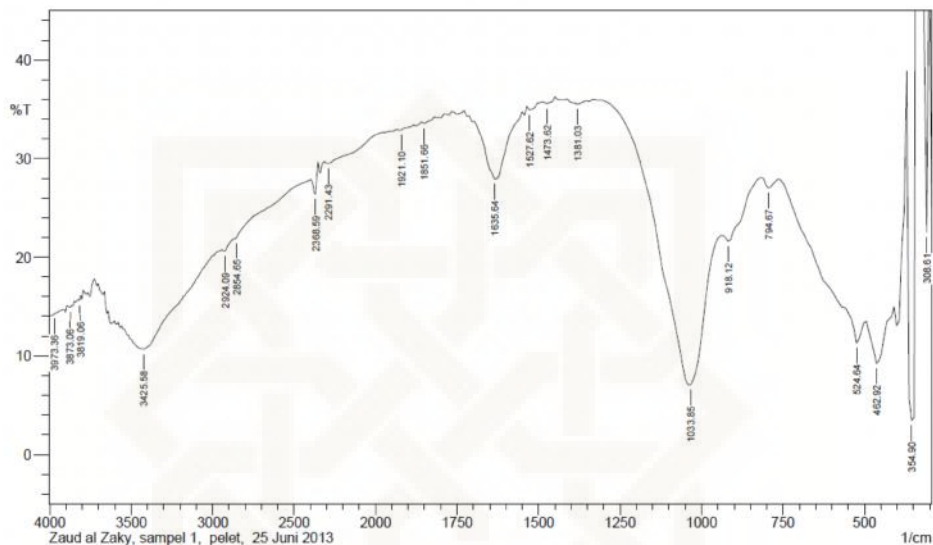
# Peak Data List
peak 2Theta      d          I/I1      FWHM      Intensity  Integrated Int
no.      (deg)       (A)        (deg)      (deg)      (Counts)  (Counts)
  1    4.8600  18.16797   3  0.16660     30      423
  2    5.1400  17.17889   6  0.20000     51      840
  3    5.3400  16.53592   8  0.00000     69      0
  4    5.6600  15.60173  10  0.00000     90      0
  5    5.7600  15.33109  10  0.00000     94      0
  6    5.9600  14.81706  12  0.00000    110      0
  7    6.2000  14.24403   9  0.00000     80      0
  8    6.3400  13.92980   7  0.00000     68      0
  9    6.5000  13.58727   7  0.26500     63      908
 10   6.6800  13.22154   4  0.00000     36      0
 11   6.8600  12.87502   3  0.10860     31      448
 12   12.3985  7.13331   4  0.18700     35      767
 13   13.8250  6.40032   6  0.19660     52      897
 14   15.8861  5.57426   3  0.09890     28      217
 15   17.1544  5.16488   3  0.07770     31      215
 16   18.0450  4.91193   3  0.19000     27      702
 17   18.9780  4.67250   4  0.12400     39      336
 18   19.5800  4.53018   3  0.10400     27      184
 19   19.7800  4.48482  22  0.16680    203      1710
 20   20.0000  4.43598  16  0.24340    141      1779
 21   20.3000  4.37110   5  0.26540     49      787
 22   20.8000  4.26714   7  0.26180     63      837
 23   21.0075  4.22546  17  0.20090    157      1489
 24   21.4200  4.14501   3  0.11640     28      183
 25   21.5600  4.11841   5  0.10460     47      368
 26   21.8976  4.05567  80  0.17350    723      6008
 27   22.1000  4.01898  49  0.18720    440      4312
 28   23.1985  3.83110   3  0.15710     27      368
 29   23.7000  3.75115  10  0.12720     89      506
 30   23.8400  3.72944  10  0.19200     87      795
 31   24.1733  3.67877  10  0.20670     95      1038
 32   24.4600  3.63629  12  0.10620    107      573
 33   24.6400  3.61014  10  0.17600     90      860
 34   24.9983  3.55920  14  0.15060    124      878
 35   25.2003  3.53112  44  0.12100    396      2431
 36   25.4525  3.49670   6  0.20500     57      514
 37   25.7366  3.45875   4  0.29330     40      672
 38   26.7835  3.32588  52  0.20350    475      5271
 39   27.0749  3.29074   4  0.08520     33      166
 40   27.6911  3.21890  47  0.16980    426      3687
 41   27.9395  3.19084  100  0.15130    907      6892
 42   28.2200  3.15976  21  0.17760    188      2122
 43   28.5675  3.12211   8  0.23500     71      921
 44   29.5819  3.01732  13  0.21220    120      1465
 45   30.4400  2.93419   5  0.09720     41      325
 46   30.6185  2.91749  15  0.14860    132      1114
 47   31.5620  2.83239   6  0.20400     52      696

```

peak no.	2Theta (deg)	d (Å)	I/I1	FWHM (deg)	Intensity (Counts)	Integrated Int (Counts)
48	31.9084	2.80243	4	0.08540	40	189
49	32.1143	2.78493	4	0.09130	34	266
50	35.0000	2.56164	4	0.28800	38	769
51	35.2425	2.54457	5	0.16500	49	388
52	35.7000	2.51300	10	0.25200	91	1151
53	35.9000	2.49946	9	0.14660	83	560
54	36.1669	2.48162	10	0.26620	93	1261
55	36.5400	2.45713	5	0.11120	44	287
56	36.7400	2.44422	7	0.13600	60	512
57	37.2427	2.41237	3	0.09740	29	330
58	39.6245	2.27268	7	0.23810	62	902
59	42.4200	2.12915	3	0.22660	28	410
60	42.6014	2.12050	8	0.14790	75	608
61	43.2183	2.09165	8	0.16330	77	679
62	43.4200	2.08240	3	0.09340	27	164
63	43.7190	2.06885	4	0.16200	35	325
64	44.8668	2.01856	17	0.11710	155	984
65	45.1309	2.00736	7	0.09820	62	351
66	47.3784	1.91724	9	0.13810	80	739
67	47.7195	1.90433	4	0.10900	33	316
68	48.6932	1.86850	11	0.17980	104	1258
69	49.3600	1.84481	3	0.12000	28	185
70	49.8957	1.82625	3	0.16060	27	296
71	50.3016	1.81246	10	0.15440	91	761
72	51.7266	1.76583	5	0.19330	46	511
73	52.1950	1.75108	6	0.13400	54	450
74	54.1936	1.69113	4	0.13930	32	358
75	56.7980	1.61961	6	0.13940	55	450
76	57.3452	1.60545	8	0.12300	77	590
77	60.1241	1.53772	6	0.23170	55	665
78	60.2800	1.53411	3	0.08000	27	131
79	62.0344	1.49487	5	0.20230	47	679
80	62.7504	1.47952	4	0.13420	40	315
81	64.1079	1.45143	26	0.13240	233	1615
82	64.3518	1.44652	6	0.13360	50	371
83	67.8814	1.37964	5	0.20290	42	531
84	68.2941	1.37230	4	0.23830	37	564
85	69.6090	1.34956	5	0.13000	49	360
86	70.3233	1.33759	3	0.11330	27	296
87	77.6433	1.22875	3	0.19330	28	429

## Lampiran 6: Data Karakterisasi Komposit Magnetit-Montmorilonit

### 1. Data FTIR



	Peak	Intensity	Corr. Intensity	Base (H)	Base (L)	Area	Corr. Area
1	308.61	22.53	42.55	331.76	300.9	10.01	5.21
2	354.9	3.46	72.17	370.33	339.47	31.52	27.75
3	462.92	9.24	4.46	493.78	416.62	72.43	6.01
4	524.64	11.3	3.38	756.1	501.49	189.3	6.15
5	794.67	27.02	0.94	810.1	763.81	26	0.37
6	918.12	21.61	1.39	933.55	817.82	70.27	1.2
7	1033.85	7.05	18.64	1303.88	941.26	256.12	56.92
8	1381.03	35.5	0.41	1411.89	1357.89	24.18	0.16
9	1473.62	35.58	0.38	1489.05	1450.47	17.21	0.12
10	1527.62	34.9	0.48	1535.34	1489.05	20.9	0.12
11	1635.64	27.94	7.14	1728.22	1535.34	95.71	7.99
12	1851.66	33.56	0.27	1859.38	1820.8	18.16	0.09
13	1921.1	32.88	0.23	1936.53	1859.38	36.91	0.14
14	2291.43	29.52	0.4	2314.58	1959.68	180.94	1.63
15	2368.59	26.4	2.51	2391.73	2353.16	21.56	0.77
16	2854.65	21.88	0.1	2862.36	2399.45	275.86	0.01
17	2924.09	20.61	0.35	2939.52	2870.08	46.68	0.13
18	3425.58	10.66	0.24	3433.29	2947.23	392.67	0.71
19	3819.06	15.55	0.44	3834.49	3795.91	30.74	0.25
20	3873.06	14.93	0.3	3888.49	3849.92	31.65	0.23
21	3973.36	14.1	0.08	3981.08	3919.35	51.78	0.01

## 2. Data XRD

```

*** Basic Data Process ***

Group Name : Data 2013
Data Name : Shelly Agustiningrum-4
File Name : Shelly Agustiningrum-4.PKR
Sample Name : Fe3O4:Mont (1:1)
Comment : Fe3O4:Mont (1:1)

# Strongest 3 peaks
no. peak 2Theta      d          I/I1      FWHM      Intensity   Integrated Int
no.      (deg)     (A)        (deg)      (deg)      (Counts)   (Counts)
  1    39    35.4626  2.52928   100  0.82130    113       4758
  2    75    62.7083  1.48042    49  0.37670     55       993
  3    21    19.7225  4.49777   43  0.43500     49      1530

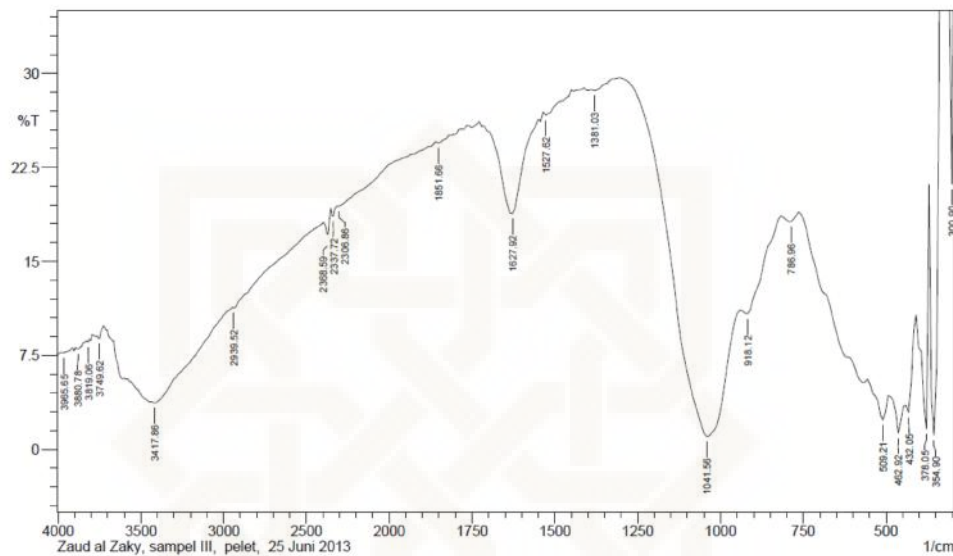
# Peak Data List
peak 2Theta      d          I/I1      FWHM      Intensity   Integrated Int
no.      (deg)     (A)        (deg)      (deg)      (Counts)   (Counts)
  1    3.3450  26.39235   4  0.17000      5       47
  2    4.2275  20.88466   9  0.09500    10       70
  3    5.0800  17.38165  13  0.56000    15      358
  4    5.7533  15.34893  19  0.86670    22      848
  5    7.4733  11.81974   8  0.13330      9       91
  6    9.1250  10.87309   5  0.05000      6       34
  7    8.8750  9.95585   3  0.05000      3       14
  8    9.3750  9.42597   3  0.03000      3       10
  9    9.6800  9.12964   3  0.01340      3       3
 10   10.5725  8.36086   7  0.17500      8       71
 11   11.3250  7.80695   8  0.09000      9       91
 12   11.8000  7.49373  12  0.12000    13      162
 13   12.7500  6.93743   9  0.06000    10       81
 14   13.6250  6.49381   6  0.11000      7       99
 15   15.2725  5.79681  12  0.10500    14      154
 16   15.9575  5.54948  18  0.22500    20      227
 17   16.4125  5.39664  16  0.34500    18      494
 18   17.1000  5.18119   7  0.00000      8       0
 19   18.2133  4.86692  23  0.34670    26      947
 20   19.1200  4.63812  11  0.00000    12       0
 21   19.7225  4.49777  43  0.43500    49      1530
 22   20.8000  4.26714  23  0.44000    26      840
 23   21.4120  4.14654  22  0.21600    25      299
 24   21.8325  4.06761  17  0.23500    19      244
 25   22.3425  3.97590   6  0.08500      7       66
 26   23.1966  3.83141   7  0.04670      8       33
 27   23.3775  3.80217   4  0.04500      5       30
 28   24.1066  3.68880  12  0.08670    14      125
 29   25.0620  3.55030  13  0.12400    15      195
 30   26.2816  3.38825  18  0.31670    20      544
 31   26.8800  3.31416  10  0.02860    11      48
 32   27.2100  3.27471  17  0.38000    19      505
 33   28.8800  3.08903  12  0.16000    14      181
 34   30.1183  2.96479  27  0.51670    31      1046
 35   31.2370  2.86111   9  0.09400    10      84
 36   31.9516  2.79874  32  0.56330    36      1088
 37   33.1940  2.69677  15  0.54800    17      544
 38   34.2040  2.61941  25  0.31200    28      561
 39   35.4626  2.52928  100  0.82130   113      4758
 40   36.2600  2.47546  35  0.52000    40      1078
 41   36.7614  2.44284  17  0.15710    19      306
 42   38.2630  2.35036  15  0.25400    17      218
 43   38.8416  2.31667  21  0.22330    24      295
 44   39.4350  2.28316  12  0.23000    14      260
 45   39.8785  2.25879  12  0.11710    13      158
 46   40.9220  2.20357  13  0.27600    15      448
 47   41.5966  2.16938  20  0.12670    23      189

```

peak no.	2Theta (deg)	d (Å)	I/I <sub>1</sub>	FWHM (deg)	Intensity (Counts)	Integrated Int (Counts)
48	42.1016	2.14451	23	0.21670	26	266
49	42.5960	2.12076	29	0.26400	33	470
50	43.1700	2.09388	25	0.70000	28	967
51	44.0308	2.05492	22	0.23170	25	448
52	45.2040	2.00428	20	0.12800	23	250
53	45.9250	1.97448	23	0.23000	26	599
54	47.2166	1.92343	21	0.40670	24	580
55	48.0025	1.89376	19	0.16500	22	218
56	48.5400	1.87404	7	0.32000	8	258
57	49.3600	1.84481	7	0.08000	8	81
58	50.1458	1.81773	19	0.24170	22	566
59	50.9400	1.79124	22	0.36000	25	675
60	51.8000	1.76350	17	0.16000	19	255
61	52.0983	1.75410	15	0.22330	17	371
62	53.5316	1.71047	27	0.28330	31	701
63	54.5060	1.68217	17	0.17200	19	306
64	55.1743	1.66337	19	0.32470	21	459
65	55.8860	1.64386	16	0.22800	18	223
66	56.6400	1.62375	22	0.44000	25	548
67	57.1103	1.61149	30	0.32930	34	713
68	58.4800	1.57697	4	0.00000	4	0
69	58.9053	1.56659	11	0.16270	12	204
70	59.6000	1.54998	11	0.28000	12	170
71	60.2200	1.53550	10	0.20000	11	170
72	61.0560	1.51645	12	0.16800	14	147
73	61.6800	1.50261	12	0.16000	13	228
74	62.2000	1.49129	31	0.22400	35	551
75	62.7083	1.48042	49	0.37670	55	993
76	63.1600	1.47091	26	0.40000	29	622
77	63.8216	1.45725	22	0.21670	25	284
78	64.5266	1.44302	7	0.14670	8	149
79	65.2950	1.42789	12	0.09000	14	130
80	66.0820	1.41277	19	0.20400	22	261
81	66.5966	1.40310	12	0.20670	13	220
82	67.3333	1.38953	14	0.18670	16	201
83	68.3933	1.37056	7	0.09330	8	46
84	68.9514	1.36082	12	0.22290	13	153
85	69.4850	1.35167	9	0.15000	10	86
86	70.3400	1.33732	14	0.10000	16	92
87	70.8800	1.32845	3	0.00000	3	0
88	71.2500	1.32245	8	0.06000	9	76
89	72.1350	1.30839	11	0.13660	12	99
90	73.1483	1.29275	19	0.27670	21	357
91	73.9800	1.28026	12	0.18660	13	148
92	74.6616	1.27025	27	0.26330	30	459
93	75.7100	1.25524	9	0.06000	10	58
94	76.6705	1.24190	21	0.26900	24	363
95	78.0216	1.22373	4	0.02330	4	5
96	78.7183	1.21464	12	0.15670	14	129
97	79.4066	1.20583	15	0.16670	17	339

## Lampiran 7: Data Karakterisasi Komposit Magnetit-Bentonit

### 1. Data FTIR



	<b>Peak</b>	<b>Intensity</b>	<b>Corr. Intensity</b>	<b>Base (H)</b>	<b>Base (L)</b>	<b>Area</b>	<b>Corr. Area</b>
1	300.9	21.16	66.74	324.04	293.18	11.55	9.2
2	354.9	1.15	78.37	370.33	331.76	37.16	31.9
3	378.05	1.64	17.41	408.91	370.33	46.99	16.41
4	432.05	2.95	2.55	439.77	416.62	29.56	2.55
5	462.92	1.31	2.43	486.06	447.49	61.21	6.08
6	509.21	2.35	2.29	555.5	493.78	88.74	7.57
7	786.96	18.16	0.57	810.1	763.81	33.98	0.34
8	918.12	10.82	1.25	933.55	817.82	97.75	1.51
9	1041.56	1.04	15.2	1303.88	941.26	377.94	110.9
10	1381.03	28.65	0.15	1388.75	1303.88	45.36	0.07
11	1527.62	26.67	0.42	1535.34	1450.47	47.47	0.39
12	1627.92	18.81	7.75	1728.22	1535.34	122.16	11.1
13	1851.66	24.44	0.23	1859.38	1789.94	41.88	0.18
14	2306.86	19.4	0.12	2314.58	1859.38	301.98	1.66
15	2337.72	18.6	0.74	2353.16	2314.58	27.8	0.3
16	2368.59	17.16	1.64	2391.73	2353.16	28.78	0.76
17	2939.52	11.31	0.13	2947.23	2399.45	453.56	0.12
18	3417.86	3.71	0.33	3433.29	2947.23	560.81	1.78
19	3749.62	8.85	0.54	3765.05	3726.47	39.75	0.38
20	3819.06	8.57	0.22	3826.77	3795.91	32.57	0.26
21	3880.78	8.01	0.12	3888.49	3834.49	58.37	0.2
22	3965.65	7.72	0.08	3973.36	3919.35	59.68	0.25

## 2. Data XRD

```

*** Basic Data Process ***

Group Name : Data 2013
Data Name   : Zaud Alzaky-2
File Name    : Zaud Alzaky-2.PKR
Sample Name  : Magnetit-Bentonit
Comment     : Magnetit-Bentonit

# Strongest 3 peaks
no. peak 2Theta      d          I/I1      FWHM      Intensity  Integrated Int
no.      (deg)        (A)        (deg)      (deg)      (Counts)  (Counts)
1       38           35.8161   2.50512   100       0.96110   102       3680
2       39           36.4400   2.46365   52        0.80660   53        2122
3       68           57.1840   1.60959   39        0.26400   40        1114

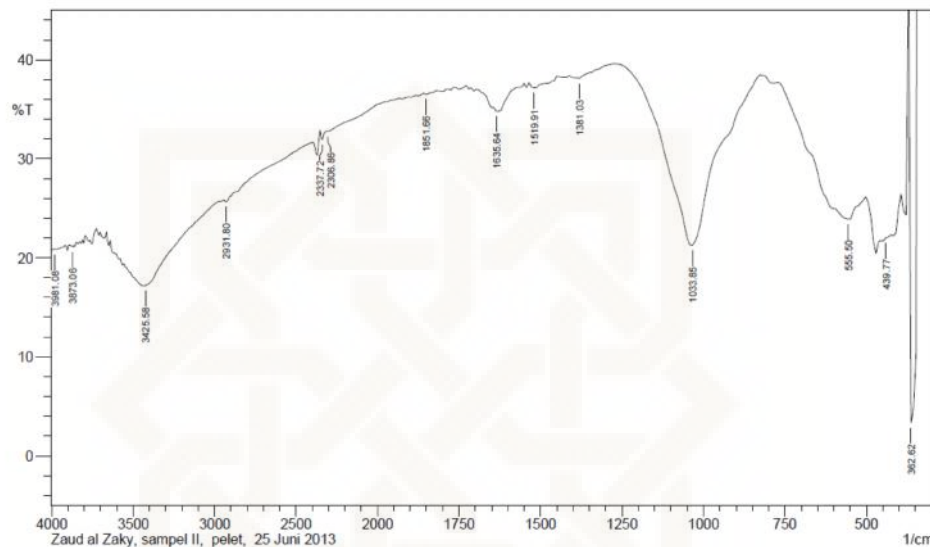
# Peak Data List
peak 2Theta      d          I/I1      FWHM      Intensity  Integrated Int
no.      (deg)        (A)        (deg)      (deg)      (Counts)  (Counts)
1       3.7900     23.29445   7         0.26000   7         103
2       5.7400     15.38446   21        0.62000   21        532
3       6.2200     14.19827   25        0.78660   26        729
4       6.8400     12.91262   14        0.16000   14        200
5       7.6000     11.62298   13        0.30660   13        396
6       8.2600     10.69569   9         0.02660   9         44
7       9.0600     9.75297   12        0.12000   12        168
8       10.3000    8.58144   10        0.14660   10        194
9       10.4687    8.44353   15        0.09750   15        133
10      11.5158    7.67803   27        0.33830   28        653
11      12.2400    7.22532   21        0.68000   21        611
12      13.4400    6.58278   25        1.38400   26        1045
13      13.7200    6.44906   22        0.00000   22        0
14      14.0400    6.30279   13        0.00000   13        0
15      14.7506    6.00071   21        0.24530   21        748
16      16.1456    5.48491   19        0.26670   19        426
17      16.8550    5.25595   27        0.41000   28        603
18      17.5860    5.03908   17        0.25200   17        276
19      18.5700    4.77423   27        0.62000   28        1064
20      19.5800    4.53018   10        0.04000   10        39
21      20.0470    4.42569   38        0.56600   39        1084
22      20.8800    4.25097   25        0.67000   26        737
23      21.5200    4.12597   26        0.57000   27        722
24      22.2540    3.99151   24        0.25200   24        520
25      23.3886    3.80039   19        0.11070   19        115
26      24.0591    3.69597   13        0.10830   13        107
27      24.6000    3.61592   7         0.04000   7         20
28      25.2016    3.53095   8         0.13670   8         75
29      26.1158    3.40938   14        0.17830   14        313
30      27.0600    3.29252   6         0.00000   6         0
31      28.0400    3.17963   21        0.32000   21        547
32      29.0360    3.07279   13        0.20800   13        179
33      30.5870    2.92042   28        0.36600   29        933
34      32.1340    2.78327   29        0.29200   30        638
35      33.0450    2.70859   26        0.27000   27        529
36      34.1350    2.62455   12        0.09000   12        84
37      34.9000    2.56875   35        0.40000   36        695
38      35.8161    2.50512   100       0.96110   102       3680
39      36.4400    2.46365   52        0.80660   53        2122
40      37.3200    2.40755   17        0.00000   17        0
41      37.6000    2.39026   8         0.00000   8         0
42      38.3112    2.34751   29        0.14750   30        312
43      39.0000    2.30762   19        0.14660   19        466
44      39.7375    2.26648   23        0.16500   23        319
45      40.5500    2.22292   22        0.11340   22        290
46      41.3715    2.18066   25        0.12700   26        323
47      42.0846    2.14534   14        0.13730   14        162

```

peak no.	2Theta (deg)	d (A)	I/I1	FWHM (deg)	Intensity (Counts)	Integrated Int (Counts)
48	42.7400	2.11395	9	0.06660	9	154
49	43.5100	2.07831	26	0.25000	27	528
50	44.1615	2.04914	12	0.21300	12	229
51	45.0693	2.00996	13	0.11470	13	131
52	45.3258	1.99918	9	0.08170	9	76
53	46.2800	1.96015	11	0.06000	11	109
54	47.3871	1.91691	27	0.37430	28	811
55	48.5150	1.87495	20	0.29000	20	287
56	49.1100	1.85361	25	0.18000	26	299
57	49.7720	1.83050	25	0.33600	26	539
58	50.4600	1.80714	3	0.02000	3	30
59	51.0833	1.78655	33	0.30670	34	686
60	51.5800	1.77050	28	0.80000	29	907
61	52.4625	1.74278	36	0.17090	37	349
62	53.0600	1.72455	9	0.23000	9	316
63	53.7150	1.70506	27	0.29000	28	542
64	54.3700	1.68606	15	0.18000	15	246
65	55.0734	1.66617	17	0.13890	17	207
66	55.5566	1.65282	10	0.08670	10	206
67	56.4000	1.63009	6	0.00000	6	0
68	57.1840	1.60959	39	0.26400	40	1114
69	57.8600	1.59238	12	0.00000	12	0
70	58.8993	1.56674	20	0.18140	20	385
71	60.1825	1.53636	5	0.05500	5	29
72	60.9240	1.51943	15	0.19200	15	250
73	62.2060	1.49116	36	0.46800	37	1848
74	63.0800	1.47259	31	0.00000	32	0
75	63.7833	1.45803	28	0.32670	29	1383
76	64.5966	1.44163	20	0.19330	20	260
77	65.3300	1.42721	14	0.22000	14	287
78	66.2350	1.40988	17	0.23000	17	271
79	66.8633	1.39815	16	0.20670	16	176
80	67.4866	1.38675	14	0.21330	14	188
81	68.2033	1.37391	17	0.14670	17	224
82	69.4200	1.35277	6	0.02000	6	43
83	70.7200	1.33106	3	0.05340	3	93
84	71.8890	1.31226	31	0.19800	32	435
85	72.5045	1.30263	9	0.08100	9	110
86	73.2078	1.29184	10	0.04430	10	44
87	73.8330	1.28244	19	0.24600	19	290
88	74.6440	1.27051	20	0.15200	20	213
89	75.2816	1.26132	17	0.18330	17	290
90	76.7966	1.24017	33	0.23330	34	488
91	77.3058	1.23327	15	0.08170	15	149
92	77.9516	1.22466	27	0.24330	28	480
93	79.0133	1.21084	15	0.10670	15	138
94	79.8916	1.19973	25	0.20330	25	370

Lampiran 8: Data Karakterisasi Komposit Magnetit-Bentonit Tak Larut Dalam Air

1. Data FTIR



	Peak	Intensity	Corr. Intensity	Base (H)	Base (L)	Area	Corr. Area
1	362.62	3.33	82.14	370.33	339.47	26.96	28.93
2	439.77	21.69	0.21	447.49	424.34	15.15	0
3	555.5	23.9	4.02	771.53	509.21	142.8	9.56
4	1033.85	21.28	17.72	1265.3	825.53	220.55	40.77
5	1381.03	38.11	0.55	1411.89	1273.02	57.04	0.3
6	1519.91	37.16	0.19	1527.62	1450.47	32.76	0.19
7	1635.64	34.79	2.28	1689.64	1573.91	51.41	1.56
8	1851.66	36.49	0.19	1859.38	1820.8	16.81	0.06
9	2306.86	32.76	0.12	2314.58	1936.53	175.52	0.58
10	2337.72	31.94	0.91	2353.16	2314.58	18.88	0.22
11	2931.8	25.68	0.19	2939.52	2399.45	290.38	0.07
12	3425.58	17.16	3.62	3556.74	2947.23	412.63	17.21
13	3873.06	21.09	0.3	3888.49	3849.92	25.95	0.16
14	3981.08	20.85	0.08	3988.79	3942.5	31.46	0.07

## 2. Data XRD

```
*** Basic Data Process ***

Group Name : Data 2013
Data Name  : Zaud Alzaky-1
File Name   : Zaud Alzaky-1.PKR
Sample Name : Magnetit-Ilit
Comment    : Magnetit-Ilit

# Strongest 3 peaks
no. peak 2Theta      d          I/I1      FWHM      Intensity  Integrated Int
no.      (deg)       (A)        (deg)     (Counts)  (Counts)
  1    48  35.6993  2.51305   100  0.66530    172      5955
  2    35  27.7200  3.21561    83  0.34000    143      2020
  3    66  49.7526  1.83117    56  0.28370    96       1347

# Peak Data List
peak" 2Theta      d          I/I1      FWHM      Intensity  Integrated Int
no.      (deg)       (A)        (deg)     (Counts)  (Counts)
  1    3.3266  26.53829   3  0.10670    6       48
  2    4.3000  20.53270   3  0.08000    6       38
  3    4.8616  18.16200   6  0.21670   11      150
  4    5.7066  15.47443   8  0.22670   14      211
  5    6.1900  14.26701  10  0.22000   17      217
  6    7.0100  12.59985   4  0.12660    7       61
  7    7.8728  11.22083   9  0.37430   15      410
  8    9.0700  9.74224   6  0.06000   10      72
  9    9.4300  9.37111   9  0.30000   16      288
 10   10.1700  8.69084  13  0.38000   23      520
 11   10.8966  8.11290  11  0.35330   19      430
 12   11.6790  7.57110   9  0.18470   15      166
 13   12.3300  7.17278  10  0.26000   17      280
 14   12.8900  6.86240   5  0.06000    9       44
 15   13.3525  6.62572   8  0.27500   13      227
 16   13.9266  6.35385  16  0.21330   27      432
 17   14.7550  5.99893   3  0.04000    6       26
 18   15.2800  5.79398   8  0.20000   13      156
 19   16.0340  5.52317   5  0.03470    9       36
 20   16.6000  5.33611   9  0.17340   15      197
 21   17.1800  5.15724  12  0.32000   20      359
 22   17.6230  5.02859   9  0.22600   15      175
 23   18.1450  4.88508  12  0.37000   20      377
 24   18.8600  4.70147   9  0.64000   15      562
 25   19.8720  4.46426  24  0.70400   41      1627
 26   20.9762  4.23169  23  0.39250   39      1009
 27   22.0189  4.03360  37  0.36220   63      1416
 28   22.7525  3.90518   8  0.14500   13      156
 29   23.6200  3.76368  21  0.28000   36      650
 30   24.1000  3.68979  16  0.24000   27      392
 31   25.0000  3.55896  29  0.31340   50      1144
 32   25.8832  3.43949   8  0.08150   14      122
 33   26.7165  3.33407  47  0.32190   80      1277
 34   27.1400  3.28300  13  0.26860   23      425
 35   27.7200  3.21561  83  0.34000  143      2020
 36   28.0200  3.18186  35  0.46660   61      1244
 37   28.3200  3.14883   8  0.00000   14      0
 38   28.5200  3.12720  12  0.15000   20      261
 39   28.9915  3.07741   5  0.15300    9      117
 40   29.7400  3.00164   7  0.08000   12      108
 41   30.3841  2.93946  33  0.38600   57      1235
 42   30.9608  2.88601  10  0.12970   18      199
 43   32.1093  2.78535  26  0.44530   44      1165
 44   32.9900  2.71298   6  0.06000   10      55
 45   33.8383  2.64688   3  0.02330    5      10
 46   34.2735  2.61426   6  0.20300   10      106
 47   35.1000  2.55457  29  0.31000   50      870
```

peak no.	2Theta (deg)	d (Å)	I/I <sub>1</sub>	FWHM (deg)	Intensity (Counts)	Integrated (Counts)	Int (Counts)
48	35.6993	2.51305	100	0.66530	172	5955	
49	36.6690	2.44879	13	0.15800	22	220	
50	37.1300	2.41943	8	0.16000	14	160	
51	38.4000	2.34229	3	0.04000	5	23	
52	38.9500	2.31047	10	0.14000	17	238	
53	39.7371	2.26650	17	0.32570	29	459	
54	40.3266	2.23472	6	0.06670	11	46	
55	41.3166	2.18343	3	0.03330	5	10	
56	41.8480	2.15692	12	0.25600	20	255	
57	42.3860	2.13078	15	0.16400	26	334	
58	43.4150	2.08263	22	0.55000	37	1185	
59	44.1470	2.04978	12	0.35400	20	315	
60	44.6480	2.02794	20	0.30400	34	517	
61	45.7816	1.98033	12	0.32330	20	501	
62	47.0416	1.93018	13	0.18330	23	310	
63	48.0055	1.89365	9	0.57900	16	468	
64	48.4739	1.87644	20	0.20780	34	404	
65	48.9973	1.85761	12	0.14130	21	170	
66	49.7526	1.83117	56	0.28370	96	1347	
67	50.2320	1.81481	12	0.20000	21	216	
68	50.8800	1.79321	9	0.44000	16	339	
69	51.5773	1.77059	17	0.17870	30	303	
70	52.8100	1.73213	3	0.08000	5	27	
71	53.7916	1.70281	15	0.47670	25	660	
72	54.6840	1.67711	10	0.19200	18	159	
73	56.0867	1.63845	16	0.20000	27	289	
74	56.4540	1.62866	15	0.33200	26	431	
75	56.9800	1.61487	20	0.37340	34	594	
76	57.4933	1.60166	29	0.53330	50	1138	
77	58.0940	1.58652	13	0.13200	23	183	
78	58.6850	1.57195	6	0.07000	10	56	
79	60.1145	1.53794	11	0.29900	19	306	
80	60.5158	1.52870	13	0.18170	22	245	
81	61.2000	1.51324	6	0.13340	11	116	
82	61.6487	1.50329	10	0.24250	17	220	
83	62.0205	1.49517	18	0.18900	31	312	
84	62.4400	1.48613	23	0.29600	40	629	
85	62.9650	1.47500	50	0.57000	86	2028	
86	63.4200	1.46551	28	0.27000	48	664	
87	63.8300	1.45708	8	0.14000	14	122	
88	64.6387	1.44079	11	0.17750	19	197	
89	65.1420	1.43087	9	0.08400	15	107	
90	65.6520	1.42098	10	0.10400	18	147	
91	65.9793	1.41472	12	0.18530	20	183	
92	66.4357	1.40611	11	0.19140	19	209	
93	67.4683	1.38708	5	0.10330	9	62	
94	68.2600	1.37291	17	0.20000	29	391	
95	68.8058	1.36334	10	0.17830	17	156	
96	69.2814	1.35514	8	0.24290	14	182	
97	70.0593	1.34199	4	0.09470	7	40	
98	70.6710	1.33186	7	0.20200	12	178	
99	71.2800	1.32197	3	0.04000	5	70	
100	71.9300	1.31162	5	0.22000	8	129	
101	72.5666	1.30167	8	0.06670	13	58	
102	73.2745	1.29083	7	0.21900	12	186	
103	73.7858	1.28315	16	0.24170	28	405	
104	74.4166	1.27382	5	0.11330	9	74	
105	74.8433	1.26762	14	0.19330	24	242	
106	75.5800	1.25708	14	0.22000	24	298	
107	76.1100	1.24964	9	0.07340	15	92	
108	76.6385	1.24233	4	0.02700	7	13	
109	77.5800	1.22959	6	0.33340	10	248	